

## ANALISE ESPECTRAL POR TRANSFORMADAS DE FOURIER

Aluno: João Victor Alcantara Pimenta

11820812

Professor: Francisco Castilho Alcaraz

## 1

## Introdução

A Transformação de Fourier que realizaremos é o equivalente discreto à Transformação de Fourier Contínua, mas para  $N$  sinais igualmente espaçadas por  $\Delta t$ . Para uma função  $f(t)$  contínua qualquer, escrevemos a Transformação de Fourier:

$$F(j\omega) = \int_{-\infty}^{\infty} f(t)e^{-j\omega t} dt$$

No caso discreto, se o integrando existe somente para os valores do sinal, podemos reescrever:

$$\begin{aligned} F(j\omega) &= \int_0^{(N-1)\Delta t} f(t)e^{-j\omega t} dt \\ &= f_0 e^{-j\omega 0\Delta t} + f_1 e^{-j\omega 1\Delta t} + \dots + f_k e^{-j\omega k\Delta t} + \dots + f_{N-1} e^{-j\omega (N-1)\Delta t} \end{aligned}$$

Ou equivalentemente:

$$F(j\omega) = \sum_{k=0}^{N-1} f_k e^{-j\omega k\Delta t}$$

Dessa forma trocamos o domínio dos dados para uma base de frequências. Importante lembrar que com  $N$  pontos é possível somente outra base de  $N$  valores independentes. Por isso tomaremos apenas:

$$\omega = 0, \frac{2\pi}{N\Delta t}, \frac{2\pi}{N\Delta t} \times 2, \dots, \frac{2\pi}{N\Delta t} \times (N-1)$$

Logo, em geral:

$$F_n = \sum_{k=0}^{N-1} f_k e^{-j\frac{2\pi}{N}nk}$$

Para  $0 \leq n \leq N-1$ .

Equivalentemente podemos definir a inversa dessa transformação:

$$f_k = \frac{1}{N} \sum_{n=0}^{N-1} F_n e^{j\frac{2\pi}{N}nk}$$

Precisamos de um sinal. No nosso caso trataremos de um sinal do tipo

$$f_i = a_1 \cos(w_1 t_i) + a_2 \sin(w_2 t_i)$$

Com  $t_i = i\Delta t$  e  $i = 1, \dots, N$ . O geramos com o programa:

```

1  PROGRAM GENERATE
2      IMPLICIT REAL (KIND=8) (a-h,o-z)
3      pi = acos(-1.d0)
4
5      N = 200
6      dt = 0.04d0
7      a1 = 2.d0
8      a2 = 4.d0
9      w1 = 4*pi
10     w2 = 2.5*pi
11
12     CALL ESCREVER(N, dt, a1, a2, w1, w2)
13
14 END PROGRAM GENERATE
15
16 SUBROUTINE ESCREVER (N, dt, a1, a2, w1, w2)
17     IMPLICIT REAL (KIND=8) (a-h,o-z)
18     COMPLEX (KIND=16) sig, SINAL
19
20     open(newunit=io, file="entradas/entrada-1.1-11820812.in")
21
22     DO 10 i=0,N-1
23         sig = SINAL(a1, a2, w1, w2, dt*i)
24         time = dt*i
25         WRITE (io, *) time, sig
26 10    END DO
27
28     close(io)
29 END SUBROUTINE ESCREVER
30
31 COMPLEX (KIND=16) FUNCTION SINAL (a1, a2, w1, w2, t)
32     IMPLICIT REAL (KIND=8) (a-h,o-z)
33     sinal = CMPLX(a1*cos(w1*t) + a2*sin(w2*t), 0.d0, 16)
34     RETURN
35 END FUNCTION SINAL

```

As quatro configuração estão com os resultados ilustrados na Figura 1. Os parametros eram:

- $a_1 = 2, a_2 = 4, w_1 = 4\pi Hz, w_2 = 2.5\pi Hz, N = 200, \Delta t = 0.04$ ;
- $a_1 = 3, a_2 = 2, w_1 = 4\pi Hz, w_2 = 2.5\pi Hz, N = 200, \Delta t = 0.04$ ;
- $a_1 = 2, a_2 = 4, w_1 = 4\pi Hz, w_2 = 0.2\pi Hz, N = 200, \Delta t = 0.4$ ;
- $a_1 = 3, a_2 = 2, w_1 = 4\pi Hz, w_2 = 0.2\pi Hz, N = 200, \Delta t = 0.4$ ;

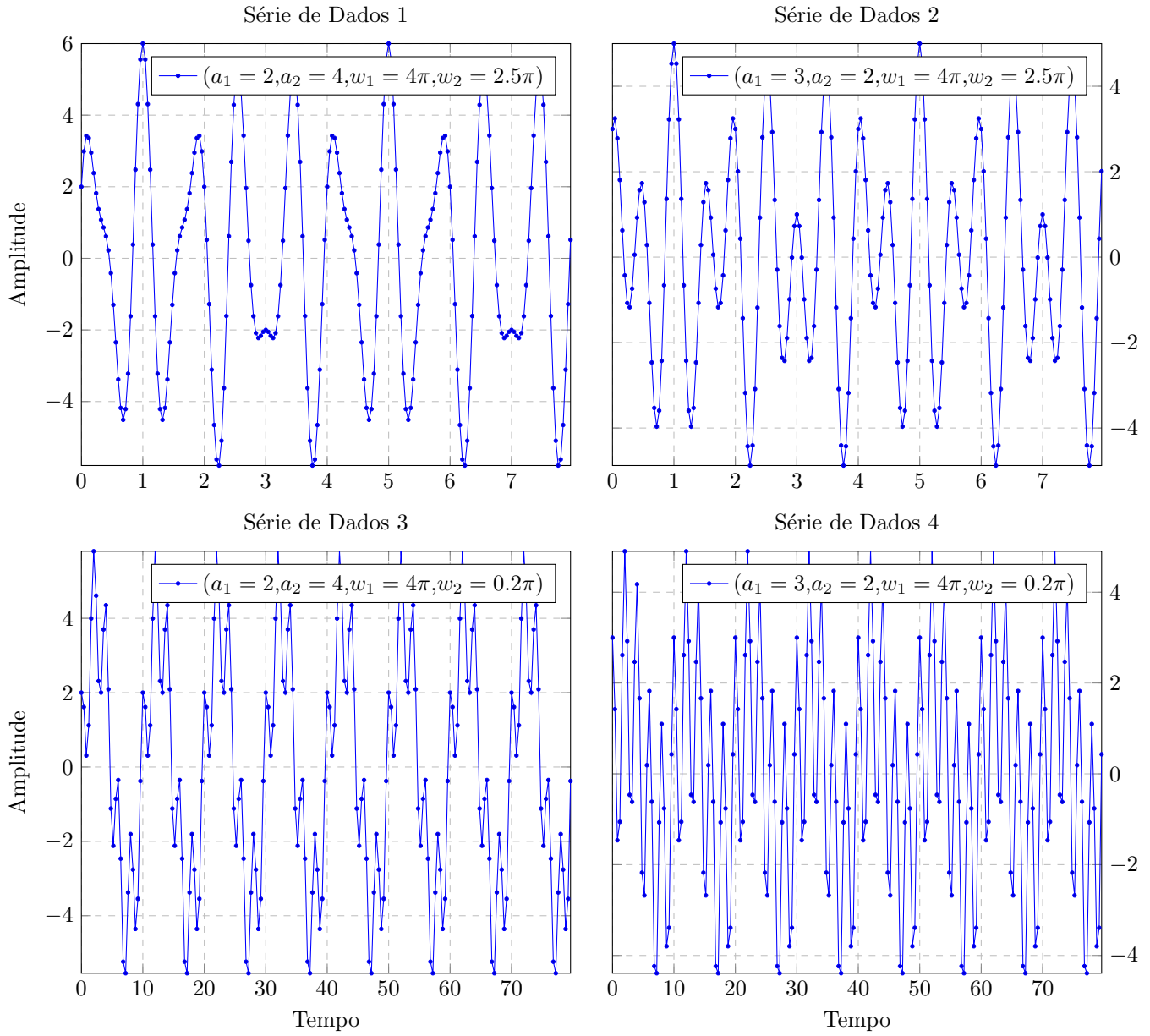


Figure 1: Plot das configurações dadas

Note que dessa vez os dados são reais, mas o programa permite a existência de dados complexos.

### 3 Transformada

Aplicaremos para as séries de dados descritas acima, as correspondentes representações no espaço de frequência. Para isso, basta aplicar os conceitos discutidos na introdução aos pontos. Isso é atingido pelo programa abaixo.

```
1  PROGRAM TRANSFOURIER
2      IMPLICIT REAL (KIND=8) (a-h,o-z)
3      COMPLEX (KIND=16), DIMENSION (1000) :: data
4      COMMON /DAT/ data
5
6  c    Tomar dados do arquivo do sinal
7      OPEN(newunit=io, file="entradas/entrada-3.2-11820812.in")
8
9      DO 10 i=1,1000
10         READ(io,*,end=1) time, data(i)
11     10  END DO
12     1   CONTINUE
13
14         CLOSE(io)
15
16         N = i - 1
17         dt = time/(N-1)
18
19  c    Chamar a rotina de fourrier que escreveu em data.out
20         CALL FOURRIER(N, dt)
21
22  END PROGRAM TRANSFOURIER
23
24  SUBROUTINE FOURRIER (N, dt)
25      IMPLICIT REAL (KIND=8) (a-h,o-z)
26      COMPLEX (KIND=16) :: Yk, Ykf
27
28      pi = acos(-1.d0)
29
30      OPEN(newunit=io, file="saidas/saida-3.2-11820812.out")
31      DO 10 k=0,N/2-1
32          Yk = Ykf(N, k) / (N/2)
33          freq = k / (N*dt)
34          WRITE(io, *) freq, Yk
35  10  END DO
36      CLOSE(io)
37
38  END SUBROUTINE FOURRIER
39
40  COMPLEX (KIND=16) FUNCTION Ykf (N, k)
41      IMPLICIT REAL (KIND=8) (a-h,o-z)
42      COMPLEX (KIND=16), DIMENSION (1000) :: y
43      COMMON /DAT/ y
44      COMPLEX (KIND=16) :: zi
45
46      pi = ACOS(-1.d0)
47      zi = (0.d0, 1.d0)
```

```

49     Ykf = 0.d0
50     DO 10 j=0,N-1
51         Ykf = Ykf + y(j+1) * EXP(2.d0*pi*zi * k * j/N)
52 10     END DO
53
54     RETURN
55 END FUNCTION Ykf

```

Aplicando sobre os arquivos anteriormente criados, obtemos quatro espectros de frequência demonstrados na Figura 2.

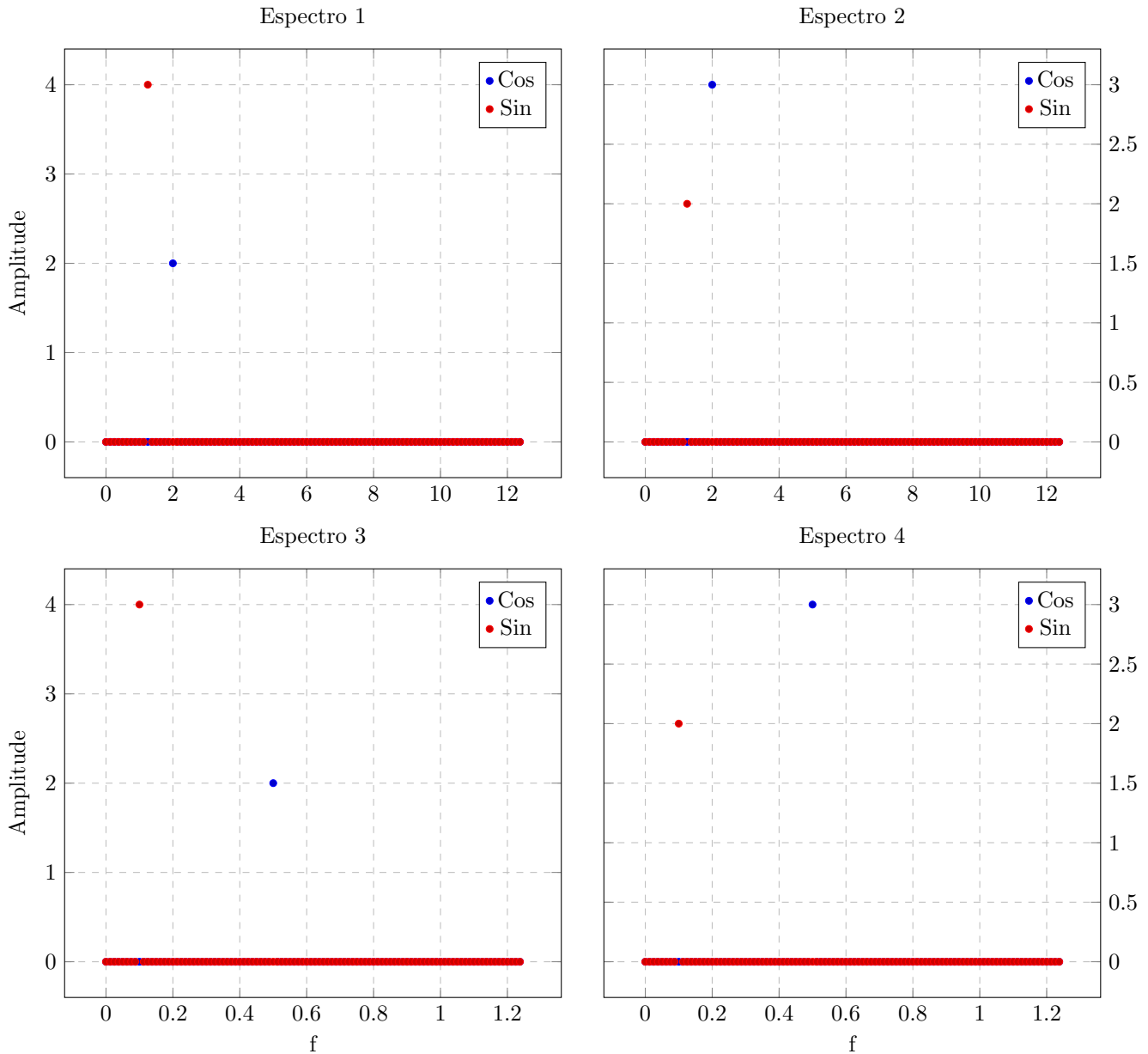


Figure 2: Plot dos espectros

É necessário discutir os resultados obtidos. Note que tanto para (a) quanto para (b) as frequências que usamos para gerar os dados estão incluídas no intervalo de frequência possível de detectar com a transformada para o sample utilizado. Dessa forma, ambos o Seno e Cosseno que foram utilizados foram bem detectados no espectro de frequência.

Para as séries (c) e (d) o cenário é diferente. Com o sample bem menor, as frequências altas (acima de 1.25) não podem ser identificadas e alguns efeitos entram em ação. Primeiramente, a frequência em 0.1 é devidamente identificada em ambos. Existe contudo um artefato em 0.5 causado pela frequência 2 que foi usada. Neste caso,  $f_r - f_n = 0.75$ . Ou seja, observamos a frequência em  $1.25 - 0.75 = 0.5$ .

## 4 Outros casos

Analisaremos agora os casos descritos abaixo e referentes às séries na Figura 3. Aqui se reutiliza o programa para gerar as séries já descrito no relatório.

- $a_1 = 2, a_2 = 4, w_1 = 4\pi Hz, w_2 = 1.4\pi Hz, N = 200, \Delta t = 0.04$ ;
- $a_1 = 2, a_2 = 4, w_1 = 4.2\pi Hz, w_2 = 1.4\pi Hz, N = 200, \Delta t = 0.04$ ;

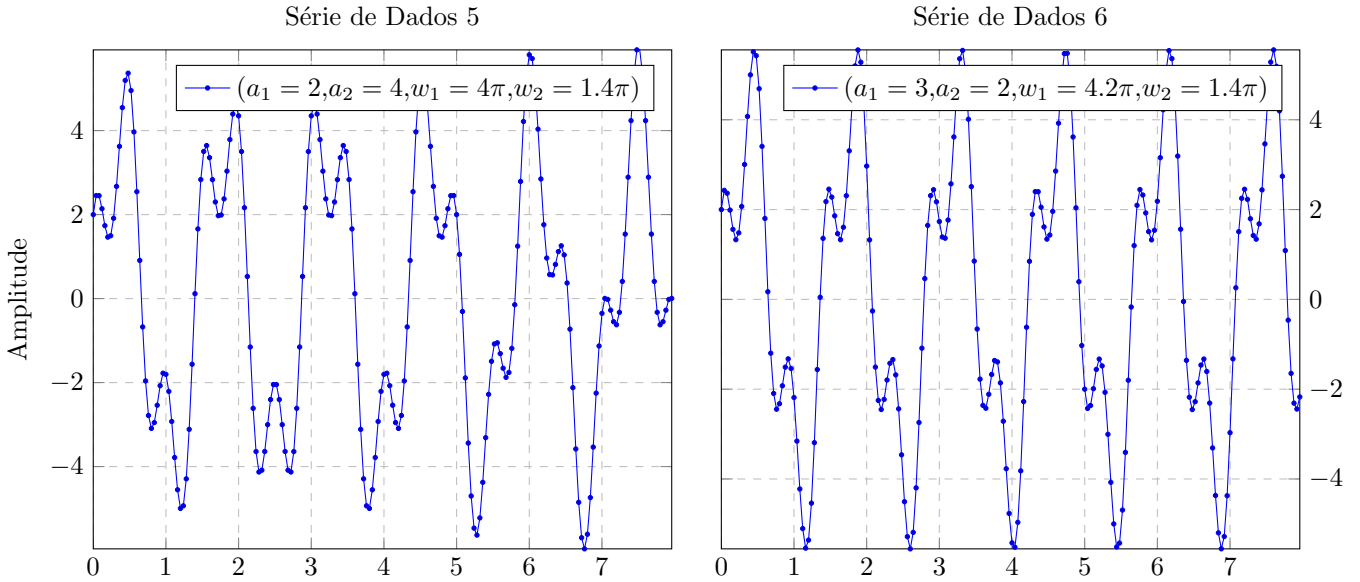


Figure 3: Plot das configurações novas

Agora vamos gerar os espectros correspondentes utilizando da mesma técnica descrita anteriormente. Obtemos algo do formato da Figura 4.

Aqui mais alguns fatores aparecem no nosso espectro de frequência na Figura 4. No espectro da sequência 5 observamos dois picos, um em 0.7 identificado ambos pelo Seno e pelo Cosseno e um identificado pelo Cosseno em 2. Note que a frequência de 2 já havia sido devidamente identificada em cenários parecidos como em (a) e ficou como esperada. A diferença no gráfico vem de medir o pico em 0.7. Percebe-se o entorno com coeficientes não nulos. Isso deve-se ao fato de que a frequência exata 0.7 não é testada na somatória. Com isso a transformação reproduz o mesmo efeito com a contribuição de uma série de outras frequências que, ainda assim, devem dar uma representação ótima dos nossos dados.

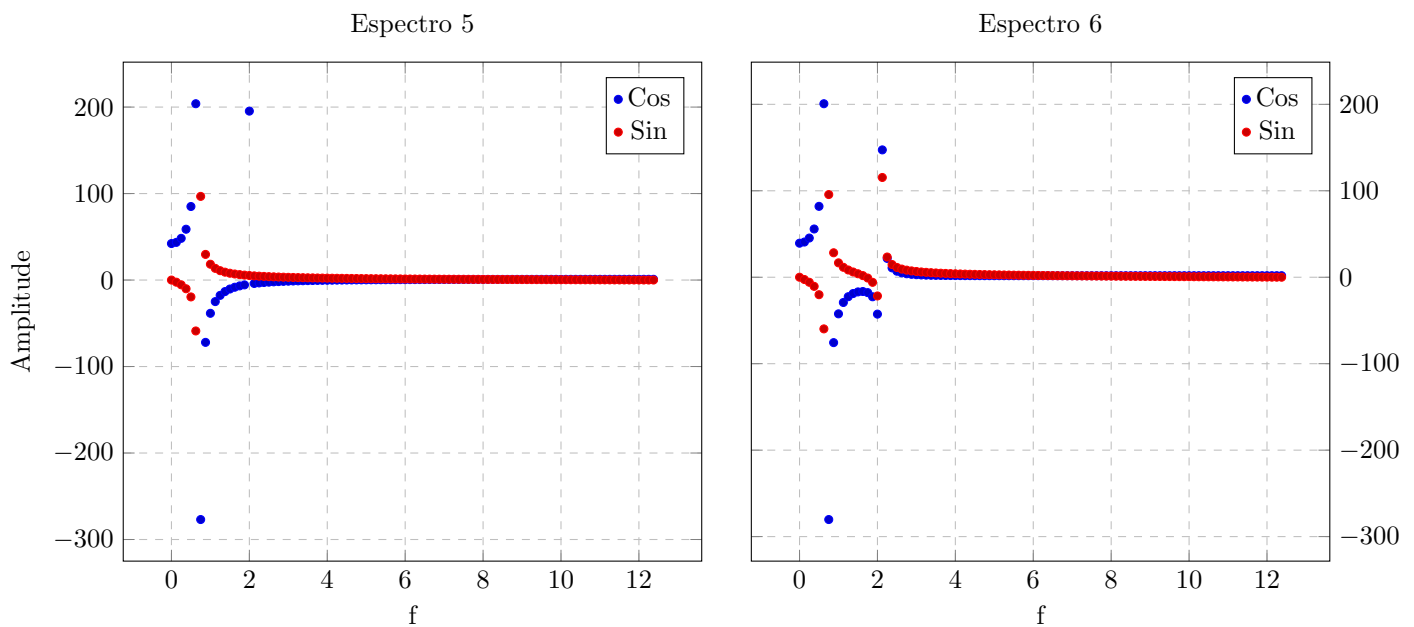


Figure 4: Plot dos novos espectros

Algo muito parecido ocorre no espectro da série 6 ou ( $f$ ). Além de tudo que foi discutido, existe o fato ainda de que a outra frequência utilizada, 2.1, também compartilha a característica e tem essa dispersão em volta de si.

## 5

## Inversa

Para a inversa basta acrescentar uma subrotina e uma função análogas às que fizemos para o processo de tomar a transformada de Fourier. Nosso código será:

```

1  PROGRAM TRANSINVERSE
2      IMPLICIT REAL (KIND=8) (a-h,o-z)
3      COMPLEX (KIND=16) , DIMENSION (1000) :: data
4      COMMON /DAT/ data
5
6  c    Tomar dados do arquivo do espectro
7      OPEN(newunit=io, file="saidas/saida-1.1-11820812.out")
8
9      DO 10 i=1,1000
10         READ(io,*,end=1) freq, data(i)
11     END DO
12     1    CONTINUE
13
14     CLOSE(io)
15
16     M = i - 1
17     dt = 0.04d0
18
19  c    Chamar a rotina de fourrier que escreveu em data.out
20     CALL INVERSE(M, dt)

```

```

21
22     END PROGRAM TRANSINVERSE
23
24     SUBROUTINE INVERSE (M, dt)
25         IMPLICIT REAL (KIND=8) (a-h,o-z)
26         COMPLEX (KIND=16) :: yj, yjf
27
28         pi = acos(-1.d0)
29
30         OPEN(newunit=io, file="saidas/saida-4-11820812.out")
31         DO 10 j=0, (2*M)-1
32             yj = yjf(M, j, dt)
33             time = j * dt
34             WRITE(io, *) time, yj
35 10     END DO
36         CLOSE(io)
37
38     END SUBROUTINE INVERSE
39
40     COMPLEX (KIND=16) FUNCTION yjf (M, j, dt)
41         IMPLICIT REAL (KIND=8) (a-h,o-z)
42         COMPLEX (KIND=16) , DIMENSION (1000) :: Y
43         COMMON /DAT/ Y
44         COMPLEX (KIND=16) :: zi
45
46         pi = ACOS(-1.d0)
47         zi = (0.d0, 1.d0)
48
49         yjf = 0.d0
50         DO 10 k=0,M-1
51             arg = k * j / (2.d0 * M)
52             yjf = yjf + Y(k+1) * EXP(-zi * 2.d0 * pi * arg)
53 10     END DO
54
55         RETURN
56     END FUNCTION yjf

```

Vamos aplicar o programa sobre o espectro gerado para a série (a) (ou 1). Resultando em uma série do tipo:

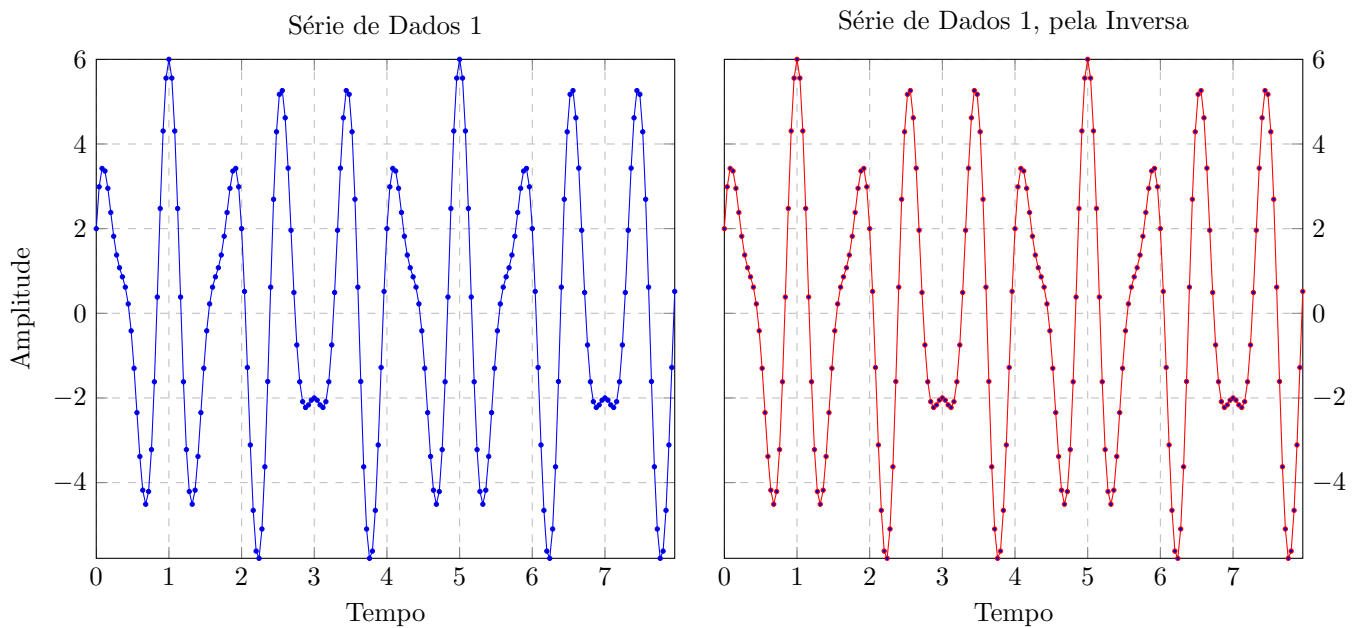
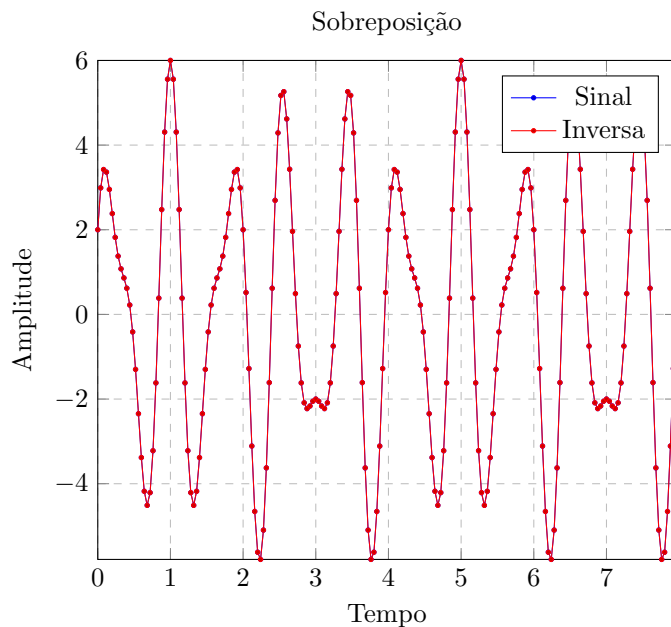


Figure 5: Comparação (a) com (a) recuperada





Finalmente, podemos observar que recuperamos a série temporal inicial sem perda de informação.

## 6

## Tempo

Para avaliar o tempo de execução vamos utilizar a função `dtime()`. Assim poderemos obter o *elapsed* time do programa em cada um das transformadas que realizaremos para valores distintos de  $N$ . Note é claro que o programa faz a média de 100 execuções da sub-rotina de Fourier. O programa é da forma

```

1  PROGRAM TIMEFOURIER
2      IMPLICIT REAL (KIND=8) (a-h,o-z)
3      COMPLEX (KIND=16), DIMENSION (1000) :: data
4      COMMON /DAT/ data
5      CHARACTER*200 :: filename, Nin(4)
6      INTEGER :: N(4)
7      REAL t(2)
8
9      N = [ 50, 100, 200, 400 ]
10     Nin = ['050-11820812.in', '100-11820812.in',
11 +         '200-11820812.in', '400-11820812.in' ]
12
13
14     open(newunit=ioT, file="saidas/saida-5.1-11820812.out")
15     open(newunit=ioTL, file="saidas/saida-5.2-11820812.out")
16     write(ioT,*) 'N ', 'tempo'
17     write(ioTL,*) 'N ', 'SqrtTempo'
18
19     e = dtime( t )
20     eaux = e
21
22     DO 10 i=1,4
23
24         filename = "entradas/entrada-5-"/Nin(i)

```

```

25
26      OPEN(newunit=io, file=filename)
27      DO 20 j=1,1000
28          READ(io,*,end=1) time, data(j)
29 20      END DO
30 1      CONTINUE
31
32      CLOSE(io)
33
34      M = j
35      dt = time/(M-1)
36
37      DO 100 k=1,100
38          CALL FOURRIER(N(i), dt)
39 100      END DO
40
41      e = dtime( t )
42      write(ioT,*) N(i), (e-eaux)/100
43      write(ioTL,*) N(i), SQRT((e-eaux)/100)
44      eaux = e
45
46 10      END DO
47
48  END PROGRAM TIMEFOURRIER
49
50  SUBROUTINE FOURRIER (N, dt)
51      IMPLICIT REAL (KIND=8) (a-h,o-z)
52      COMPLEX (KIND=16) :: Yk, Ykf
53
54      pi = acos(-1.d0)
55
56      DO 10 k=0,N/2-1
57          Yk = Ykf(N, k) / (N/2)
58          freq = k / (N*dt)
59 10      END DO
60
61  END SUBROUTINE FOURRIER
62
63  COMPLEX (KIND=16) FUNCTION Ykf (N, k)
64      IMPLICIT REAL (KIND=8) (a-h,o-z)
65      COMPLEX (KIND=16), DIMENSION (1000) :: y
66      COMMON /DAT/ y
67      COMPLEX (KIND=16) :: zi
68
69      pi = ACOS(-1.d0)
70      zi = (0.d0, 1.d0)
71
72      Ykf = 0.d0
73      DO 10 j=0,N-1
74          Ykf = Ykf + y(j+1) * EXP(2.d0*pi*zi * k * j/N)
75 10      END DO
76
77      RETURN
78  END FUNCTION Ykf

```

Para as marcações feitas podemos visualizar o tempo de execução no gráfico abaixo

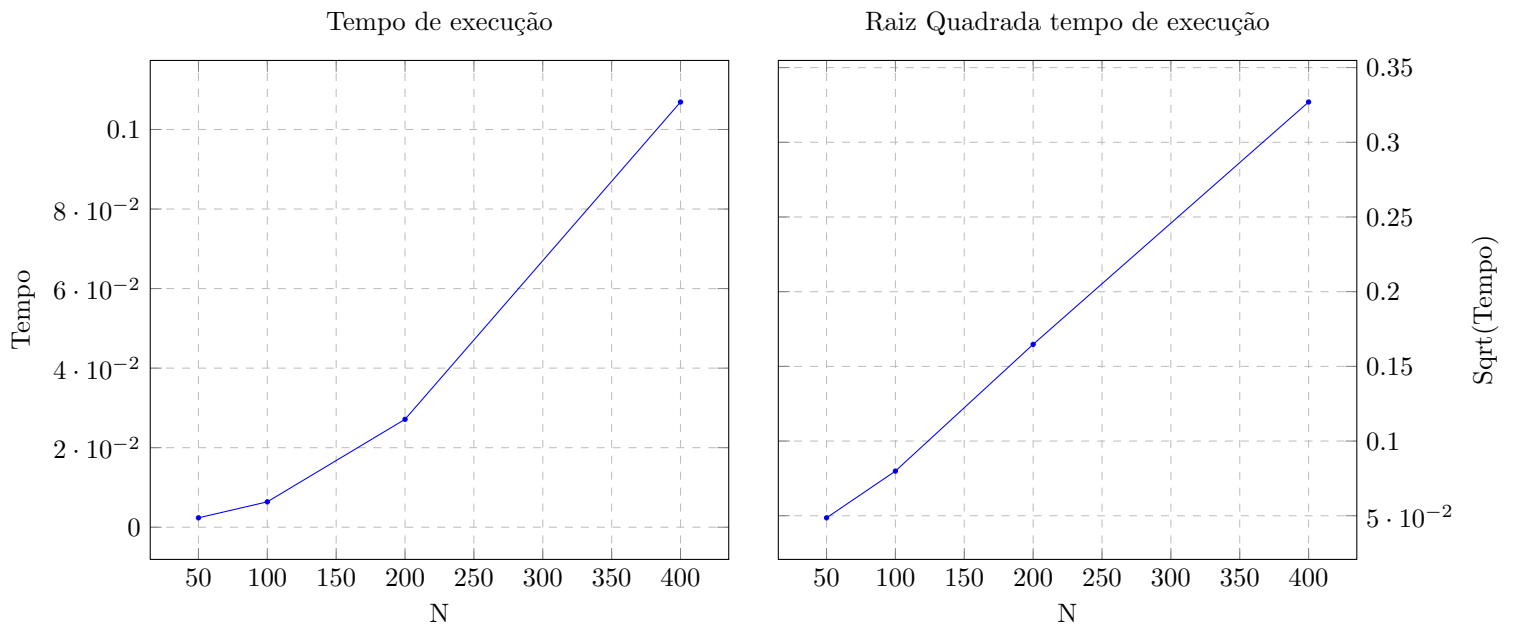


Figure 6: Plot dos novos espectros

Como é possível ver no crescimento do gráfico que representa a raiz quadrada do tempo, o crescimento é razoavelmente linear. Isso significa que o crescimento do Tempo deve ser  $N^2$ .